

- [2] Tanos V, Lingwood L, Balami S. Junctional zone endometrium morphological characteristics and functionality: review of the literature[J]. *Gynecol Obstet Invest*, 2020, 85(2): 107-117.
- [3] Wang L, Lv S, Mao W, et al. Assessment of endometrial receptivity during implantation window in women with unexplained infertility [J]. *Gynecol Endocrinol*, 2020, 36(10): 917-921.
- [4] Van den Bosch T, Dueholm M, Leone FP, et al. Terms, definitions and measurements to describe sonographic features of myometrium and uterine masses: a consensus opinion from the Morphological Uterus Sonographic Assessment (MUSA) group [J]. *Ultrasound Obstet Gynecol*, 2015, 46(3): 284-298.
- [5] 卢佳, 胡兵, 李欢. MRI 及超声评估子宫腺肌病患者子宫内-肌层交界区研究进展 [J]. *中国医学影像技术*, 2022, 38(8): 1262-1265.
- [6] 陈瑾, 郝力丹, 石华, 等. 三维能量多普勒检测体外授精-胚胎移植患者子宫内膜血流参数与妊娠结局的关系 [J]. *中华超声影像学杂志*, 2011, 20(10): 861-863.
- [7] 朱博雅, 江乾, 赵静云, 等. 子宫结合带厚度及形态对子宫腺肌病患者行冻胚移植临床结局的影响 [J]. *河北医科大学学报*, 2022, 43(1): 49-53.
- [8] Maubon A, Faury A, Kapella M, et al. Uterine junctional zone at magnetic resonance imaging: a predictor of in vitro fertilization implantation failure [J]. *J Obstet Gynaecol Res*, 2010, 36(3): 611-618.
- [9] 李文远. 子宫内膜血流参数的超声特征与胚胎移植成功率的关系 [J]. *解放军预防医学杂志*, 2019, 37(2): 38-40.
- [10] Shui X, Yu C, Li J, et al. Development and validation of a pregnancy prediction model based on ultrasonographic features related to endometrial receptivity [J]. *Am J Transl Res*, 2021, 13(6): 6156-6165.
- [11] Mayer RB, Ebner T, Weiss C, et al. The role of endometrial volume and endometrial and subendometrial vascularization parameters in a frozen embryo transfer cycle [J]. *Reprod Sci*, 2019, 26(7): 1013-1018.
- [12] Järvelä IY, Sladkevicius P, Kelly S, et al. Evaluation of endometrial receptivity during in-vitro fertilization using three-dimensional power Doppler ultrasound [J]. *Ultrasound Obstet Gynecol*, 2005, 26(7): 765-769.
- [13] Kim A, Jung H, Choi WJ, et al. Detection of endometrial and subendometrial vasculature on the day of embryo transfer and prediction of pregnancy during fresh in vitro fertilization cycles [J]. *Taiwan J Obstet Gynecol*, 2014, 53(3): 360-365.
- [14] Ng EH, Chan CC, Tang OS, et al. Comparison of endometrial and subendometrial blood flow measured by three-dimensional power Doppler ultrasound between stimulated and natural cycles in the same patients [J]. *Hum Reprod*, 2004, 19(10): 2385-2390.

(收稿日期: 2022-08-25)

## · 病例报道 ·

## Ultrasonic diagnosis of perineal Paget's disease: a case report 超声诊断会阴 Paget's 病 1 例

谭知芝 李加伍 杨裕佳

[中图法分类号] R445.1

[文献标识码] B

患者男, 72 岁, 因发现会阴部新生物 1 年, 自觉增大 1 个月就诊。患者自述近 1 年来会阴部出现反复溃烂、瘙痒、局部渗液及结痂, 无压痛、局部发热等不适, 于外院诊断为“湿疹”并多次进行治疗, 未见好转。体格检查: 左侧阴囊背侧与阴茎根部可见一范围约 20 mm×10 mm 新生物, 右侧阴囊背侧可见一范围约 10 mm×10 mm 新生物, 均突出皮肤表面, 边界欠清晰, 色红, 质硬; 新生物周围皮肤红肿, 范围约 50 mm×50 mm, 累及部分阴茎, 局部表面皮肤破溃, 可见淡黄色渗液。会阴部病变处皮肤分泌物涂片检查提示真菌(-)。超声检查: 左侧阴茎根部皮肤层见一大约 23.0 mm×4.5 mm×22.0 mm 团块状低回声, 边界较清晰, 形态较规则, 向皮肤表面隆起, 其浅面表皮层连续, 内可见较丰富的点线状血流信号, 并探及低阻动脉频谱。见图 1。超声提示: 考虑左侧阴茎根部皮肤层实质性占位: Paget's 病? 或其他。遂行会阴部肿块扩大切除术, 术后病理检查: 表皮内查见异型细胞; 免疫组化: CEA(+), CK7(+), S100(-), HMB45(-),

CK5/6(-)。病理诊断: 符合 Paget's 病。

讨论: 乳腺外 Paget's 病又称乳房外湿疹样癌, 是一种罕见的皮肤恶性肿瘤, 仅占有 Paget's 病的 6.5%<sup>[1]</sup>。本病好发于大汗腺分布部位, 包括腋下、大小阴唇、阴囊、阴茎、肛周等部位<sup>[2]</sup>, 也可发生于背部、四肢、额面部、下腹壁等<sup>[3-4]</sup>, 多见于老年患者, 临床表现为病变部位出现丘疹、红斑、糜烂、渗液、脱屑等, 并伴有明显瘙痒感。本病常因早期临床表现类似湿疹而误诊, 本例患者即在外院诊断为“湿疹”并进行反复治疗, 未见好转, 导致病情进展。Paget's 病主要超声表现为皮肤真皮层增厚, 回声减低、不均匀, 可呈弥漫型或肿块型<sup>[5]</sup>, 其中弥漫型多边界不清晰, 形态不规则; 肿块型多边界清晰, 形态欠规则, 可探及丰富的血流信号, 本例表现符合肿块型特征。当伴有淋巴结转移时, 可表现为单侧或双侧淋巴结肿大, 结构异常, 内血流信号较丰富。临床工作中仅凭超声图像有时难以准确诊断会阴 Paget's 病, 需结合患者的临床特征及其他检查进行综合判

(下转第 309 页)

作者单位: 610041 成都市, 四川大学华西医院超声科

通讯作者: 杨裕佳, Email: 441288637@qq.com

理与预后分析[J].中国实用医药,2018,13(28):72-74.

[7] 沈铿,马丁.妇产科学[M].3版.北京:人民卫生出版社,2015:379-383.

[8] 杨午博,张军.胎儿侧脑室扩张的产前影像学诊断及预后[J].中国临床医学影像杂志,2017,28(5):368-371.

[9] 孙国玉,侯新琳,周丛乐,等.胎儿期侧脑室增宽新生儿出生后神经发育的初步探讨[J].中华新生儿科杂志,2017,32(4):274-277.

[10] 张雯,徐宏燕,张彦春,等.北京市胎儿及婴儿先天性脑积水发生情况及婴儿期转归[J].中华妇幼临床医学杂志(电子版),2021,17(6):657-662.

[11] 黄琳,魏媛.胎儿侧脑室增宽的产前诊断意义和妊娠结局[J].中国计划生育和妇产科,2018,10(12):5-8.

[12] 尚宁,张玉兰,舒爽,等.产前超声联合磁共振诊断胎儿部分性胼胝体发育不全[J].广州医药,2020,51(3):65-69.

[13] 宗觉宁,韦霞枝.中孕期胎儿中枢神经系统畸形的超声影像诊断价值[J].深圳中西医结合杂志,2019,29(14):76-77.

[14] 郑娅婷,项寒芳,黄伟伟.磁共振弥散加权成像对产前胎儿脑积水的诊断效能分析[J].中国妇幼保健,2021,36(5):1193-1195.

[15] 蔡晨晨,林振浪.胎儿脑积水的研究进展[J].中华围产医学杂志,

2018,21(6):422-426.

[16] 李圆圆,莫宇宁,黎新艳,等.胎儿不同程度侧脑室增宽的超声表现及临床意义[J].中国实验诊断学,2020,24(1):4-7.

[17] 吴俊莉,何志全,王开碧,等.产前超声对胎儿侧脑室增宽的判定及与新生儿早期神经发育的关系[J].影像科学与光化学,2022,40(6):1565-1569.

[18] 张小林,高园,朱兆领,等.产前丘脑水平横断面超声观察孕11~13<sup>+</sup>周胎儿中脑导水管及其与头臀径的关系[J].中国医学影像技术,2022,38(1):116-119.

[19] 肖清华.经阴道三维超声成像诊断胎儿小脑蚓部发育异常的临床应用[J].内蒙古医学杂志,2019,51(7):816-817.

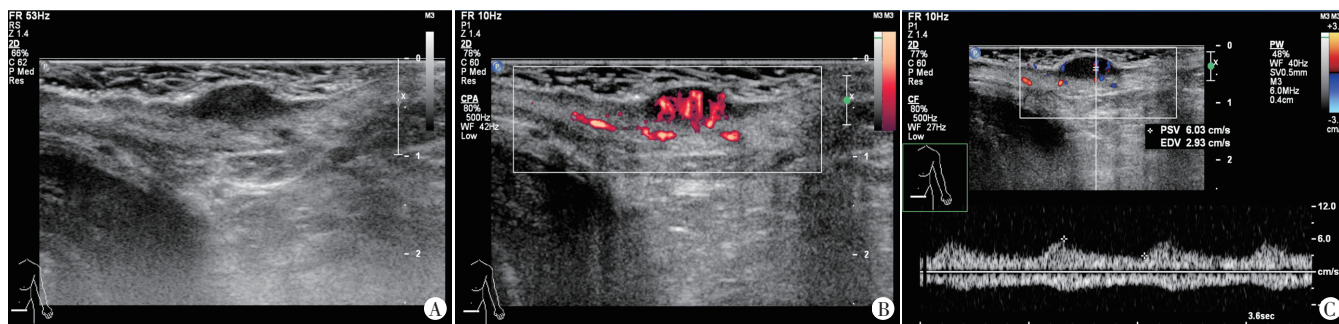
[20] 贾春红.超声诊断胎儿中枢神经系统畸形的应用价值[J].实用医学影像杂志,2018,19(3):269-271.

[19] 陈兵兵,郑珂,朱华勇.多模态磁共振成像诊断孕晚期胎儿脑发育异常的应用价值[J].中国妇幼保健,2022,37(7):1332-1335.

[20] 王丽夏,宋玲玲,彭丽珊,等.产前超声结合MRI成像在胎儿小脑蚓部发育评价及诊断后颅窝结构异常的临床分析[J].影像研究与医学应用,2019,3(24):76-78.

(收稿日期:2022-08-02)

(上接第304页)



A:灰阶超声示左侧阴茎根部皮肤层见一大小约23.0 mm×4.5 mm×22.0 mm团块状低回声,边界较清晰,形态较规则,向皮肤表面隆起,其浅面表皮层连续;B:CDFI于团块内探及较丰富的点线状血流信号;C:频谱多普勒探及低阻动脉频谱

图1 会阴Paget's病超声图

断。本病需与鲍温病(Bowen病)、鳞状细胞癌、基底细胞癌等皮肤肿瘤鉴别:鲍温病多见于老年女性,发生于会阴时常合并人乳头瘤病毒感染,超声显示病变局限于表皮,呈线状高回声,病变处表皮明显增厚,其下方真皮组织内可见带状低回声<sup>[6]</sup>;基底细胞癌和鳞状细胞癌均好发于中老年男性,以手背、头部、面部和颈部等日光暴露部位多见,二者表皮层多表现为增厚,以基底细胞癌增厚更明显,而鳞状细胞癌常累及皮下层,肿瘤体积更大,血流信号更丰富<sup>[7-8]</sup>。但浅表肿瘤复杂多样,对于超声图像不典型者,必要时需行超声引导下穿刺活检以明确诊断,以便患者得到及时治疗。超声检查能够准确判断病灶部位、大小、数目等,并根据表皮层是否增厚、病变浸润深度及血供等情况进行诊断与鉴别诊断,为临床提供更多的信息,有重要的应用价值。

参考文献

[1] Dauendorffer JN, Herms F, Baroudjian B, et al. Penoscrotal Paget's disease[J].Ann Dermatol Venereol,2021,148(2):71-76.

[2] Ishizuki S, Nakamura Y.Extramammary Paget's disease: diagnosis, pathogenesis, and treatment with focus on recent developments [J].

Curr Oncol,2021,28(4):2969-2986.

[3] Scarbrough CA, Vrable A, Carr DR. Definition, association with malignancy, biologic behavior, and treatment of ectopic extramammary Paget's disease: a review of the literature [J].J Clin Aesthet Dermatol,2019,12(8):40-44.

[4] Kuniyuki S, Maekawa N.Ectopic extramammary Paget's disease on the head: case report and literature review [J].Int J Dermatol,2015,54(11):483-486.

[5] 汪健,陈琴,罗俊.乳腺外佩吉特病的超声特征[J].中国医学影像技术,2019,35(1):121-124.

[6] 周璟.高频超声的常见皮肤肿瘤表现及在基底细胞癌术前评估的应用研究[D].天津:天津医科大学,2016.

[7] Crişan D, Badea AF, Crişan M, et al.Integrative analysis of cutaneous skin tumours using ultrasonographic criteria.Preliminary results [J].Med Ultrason,2014,16(4):285-290.

[8] 朱晓玲,邱邈.皮肤基底细胞癌与鳞状细胞癌的临床及超声特征分析[J].中国超声医学杂志,2018,34(11):1045-1048.

(收稿日期:2022-10-12)